

Starkniederschlagshöhen und -spenden gemäß KOSTRA-DWD-2020

Rasterfeld 87152

(Zeile 87, Spalte 152)

Regenspende und Bemessungsniederschlagswerte in Abhängigkeit von Wiederkehrzeit T und Dauerstufe D

| Dauerstufe D | | Wiederkehrzeit T | | | | | | | | | | | | | | | | | |
|--------------|-----|------------------|------------|------|------------|------|------------|------|------------|------|------------|-------|------------|-------|------------|-------|------------|-------|------------|
| | | 1 a | | 2 a | | 3 a | | 5 a | | 10 a | | 20 a | | 30 a | | 50 a | | 100 a | |
| min | Std | mm | l / (s ha) | mm | l / (s ha) | mm | l / (s ha) | mm | l / (s ha) | mm | l / (s ha) | mm | l / (s ha) | mm | l / (s ha) | mm | l / (s ha) | mm | l / (s ha) |
| 5 | | 6,5 | 216,7 | 8,1 | 270,0 | 9,1 | 303,3 | 10,4 | 346,7 | 12,2 | 406,7 | 14,1 | 470,0 | 15,4 | 513,3 | 17,0 | 566,7 | 19,4 | 646,7 |
| 10 | | 8,2 | 136,7 | 10,2 | 170,0 | 11,4 | 190,0 | 13,0 | 216,7 | 15,4 | 256,7 | 17,8 | 296,7 | 19,3 | 321,7 | 21,4 | 356,7 | 24,4 | 406,7 |
| 15 | | 9,2 | 102,2 | 11,5 | 127,8 | 12,9 | 143,3 | 14,7 | 163,3 | 17,3 | 192,2 | 20,0 | 222,2 | 21,8 | 242,2 | 24,1 | 267,8 | 27,5 | 305,6 |
| 20 | | 10,0 | 83,3 | 12,5 | 104,2 | 14,0 | 116,7 | 16,0 | 133,3 | 18,8 | 156,7 | 21,8 | 181,7 | 23,7 | 197,5 | 26,2 | 218,3 | 29,8 | 248,3 |
| 30 | | 11,2 | 62,2 | 13,9 | 77,2 | 15,6 | 86,7 | 17,8 | 98,9 | 21,0 | 116,7 | 24,3 | 135,0 | 26,5 | 147,2 | 29,3 | 162,8 | 33,3 | 185,0 |
| 45 | | 12,5 | 46,3 | 15,5 | 57,4 | 17,4 | 64,4 | 19,9 | 73,7 | 23,4 | 86,7 | 27,1 | 100,4 | 29,5 | 109,3 | 32,6 | 120,7 | 37,1 | 137,4 |
| 60 | 1 | 13,5 | 37,5 | 16,7 | 46,4 | 18,8 | 52,2 | 21,4 | 59,4 | 25,2 | 70,0 | 29,2 | 81,1 | 31,8 | 88,3 | 35,2 | 97,8 | 40,0 | 111,1 |
| 90 | 1,5 | 14,9 | 27,6 | 18,6 | 34,4 | 20,8 | 38,5 | 23,8 | 44,1 | 28,0 | 51,9 | 32,4 | 60,0 | 35,3 | 65,4 | 39,1 | 72,4 | 44,5 | 82,4 |
| 120 | 2 | 16,1 | 22,4 | 20,0 | 27,8 | 22,4 | 31,1 | 25,6 | 35,6 | 30,2 | 41,9 | 34,9 | 48,5 | 38,0 | 52,8 | 42,0 | 58,3 | 47,8 | 66,4 |
| 180 | 3 | 17,8 | 16,5 | 22,2 | 20,6 | 24,8 | 23,0 | 28,4 | 26,3 | 33,4 | 30,9 | 38,7 | 35,8 | 42,1 | 39,0 | 46,6 | 43,1 | 53,0 | 49,1 |
| 240 | 4 | 19,2 | 13,3 | 23,8 | 16,5 | 26,7 | 18,5 | 30,5 | 21,2 | 35,9 | 24,9 | 41,6 | 28,9 | 45,3 | 31,5 | 50,1 | 34,8 | 57,0 | 39,6 |
| 360 | 6 | 21,2 | 9,8 | 26,4 | 12,2 | 29,6 | 13,7 | 33,8 | 15,6 | 39,8 | 18,4 | 46,0 | 21,3 | 50,1 | 23,2 | 55,5 | 25,7 | 63,1 | 29,2 |
| 540 | 9 | 23,5 | 7,3 | 29,2 | 9,0 | 32,7 | 10,1 | 37,4 | 11,5 | 44,1 | 13,6 | 50,9 | 15,7 | 55,5 | 17,1 | 61,4 | 19,0 | 69,9 | 21,6 |
| 720 | 12 | 25,2 | 5,8 | 31,4 | 7,3 | 35,2 | 8,1 | 40,2 | 9,3 | 47,3 | 10,9 | 54,7 | 12,7 | 59,6 | 13,8 | 66,0 | 15,3 | 75,1 | 17,4 |
| 1080 | 18 | 27,9 | 4,3 | 34,7 | 5,4 | 38,9 | 6,0 | 44,4 | 6,9 | 52,4 | 8,1 | 60,6 | 9,4 | 66,0 | 10,2 | 73,0 | 11,3 | 83,1 | 12,8 |
| 1440 | 24 | 30,0 | 3,5 | 37,3 | 4,3 | 41,8 | 4,8 | 47,7 | 5,5 | 56,3 | 6,5 | 65,1 | 7,5 | 70,9 | 8,2 | 78,4 | 9,1 | 89,2 | 10,3 |
| 2880 | 48 | 35,7 | 2,1 | 44,3 | 2,6 | 49,7 | 2,9 | 56,7 | 3,3 | 66,9 | 3,9 | 77,4 | 4,5 | 84,2 | 4,9 | 93,2 | 5,4 | 106,1 | 6,1 |
| 4320 | 72 | 39,5 | 1,5 | 49,0 | 1,9 | 55,0 | 2,1 | 62,8 | 2,4 | 74,0 | 2,9 | 85,6 | 3,3 | 93,2 | 3,6 | 103,1 | 4,0 | 117,4 | 4,5 |
| 5760 | 96 | 42,4 | 1,2 | 52,7 | 1,5 | 59,1 | 1,7 | 67,4 | 2,0 | 79,5 | 2,3 | 92,0 | 2,7 | 100,1 | 2,9 | 110,8 | 3,2 | 126,1 | 3,6 |
| 7200 | 120 | 44,8 | 1,0 | 55,7 | 1,3 | 62,4 | 1,4 | 71,3 | 1,7 | 84,0 | 1,9 | 97,2 | 2,3 | 105,8 | 2,4 | 117,1 | 2,7 | 133,3 | 3,1 |
| 8640 | 144 | 46,9 | 0,9 | 58,3 | 1,1 | 65,3 | 1,3 | 74,6 | 1,4 | 88,0 | 1,7 | 101,7 | 2,0 | 110,7 | 2,1 | 122,6 | 2,4 | 139,5 | 2,7 |
| 10080 | 168 | 48,7 | 0,8 | 60,6 | 1,0 | 67,9 | 1,1 | 77,5 | 1,3 | 91,4 | 1,5 | 105,7 | 1,7 | 115,1 | 1,9 | 127,3 | 2,1 | 144,9 | 2,4 |

Starkniederschlagshöhen und -spenden gemäß KOSTRA-DWD-2020

Rasterfeld 87152

(Zeile 87, Spalte 152)

Örtliche Unsicherheiten in Abhängigkeit von Wiederkehrzeit T und Dauerstufe D

| Dauerstufe D | | Wiederkehrzeit T | | | | | | | | |
|--------------|-----|------------------|-----|-----|-----|------|------|------|------|-------|
| | | 1 a | 2 a | 3 a | 5 a | 10 a | 20 a | 30 a | 50 a | 100 a |
| min | Std | ± % | ± % | ± % | ± % | ± % | ± % | ± % | ± % | ± % |
| 5 | | 11 | 11 | 12 | 13 | 14 | 15 | 15 | 16 | 16 |
| 10 | | 12 | 14 | 15 | 16 | 18 | 19 | 19 | 20 | 20 |
| 15 | | 14 | 16 | 17 | 18 | 20 | 21 | 21 | 22 | 22 |
| 20 | | 14 | 17 | 18 | 19 | 20 | 21 | 22 | 23 | 23 |
| 30 | | 15 | 17 | 18 | 20 | 21 | 22 | 23 | 23 | 24 |
| 45 | | 15 | 17 | 18 | 20 | 21 | 22 | 23 | 24 | 24 |
| 60 | 1 | 15 | 17 | 18 | 20 | 21 | 22 | 23 | 23 | 24 |
| 90 | 1,5 | 14 | 16 | 18 | 19 | 20 | 21 | 22 | 23 | 23 |
| 120 | 2 | 13 | 16 | 17 | 18 | 20 | 21 | 21 | 22 | 23 |
| 180 | 3 | 12 | 15 | 16 | 17 | 19 | 20 | 20 | 21 | 22 |
| 240 | 4 | 11 | 14 | 15 | 16 | 18 | 19 | 20 | 20 | 21 |
| 360 | 6 | 10 | 13 | 14 | 15 | 17 | 18 | 18 | 19 | 20 |
| 540 | 9 | 10 | 12 | 13 | 14 | 16 | 17 | 17 | 18 | 19 |
| 720 | 12 | 9 | 11 | 12 | 13 | 15 | 16 | 16 | 17 | 18 |
| 1080 | 18 | 9 | 10 | 11 | 12 | 14 | 15 | 15 | 16 | 17 |
| 1440 | 24 | 8 | 10 | 11 | 12 | 13 | 14 | 15 | 15 | 16 |
| 2880 | 48 | 9 | 9 | 10 | 11 | 12 | 13 | 13 | 14 | 14 |
| 4320 | 72 | 10 | 9 | 10 | 10 | 11 | 12 | 12 | 13 | 14 |
| 5760 | 96 | 10 | 10 | 10 | 10 | 11 | 12 | 12 | 13 | 13 |
| 7200 | 120 | 11 | 10 | 10 | 10 | 11 | 12 | 12 | 12 | 13 |
| 8640 | 144 | 11 | 10 | 10 | 10 | 11 | 12 | 12 | 12 | 13 |
| 10080 | 168 | 12 | 11 | 11 | 11 | 11 | 12 | 12 | 12 | 13 |

Parameter für abweichende T und D

Lokationsparameter ξ (Xi)

13,61379758

Skalenparameter α (Alpha)

4,59789284

Formparameter κ (Kappa)

-0,1

1. Koutsoyiannis-Parameter θ (Theta)

0,01429585

2. Koutsoyiannis-Parameter η (Eta)

0,75100974

Parameter für dauerstufenübergreifende Extremwertschätzung nach KOUTSOYIANNIS et al. 1998.

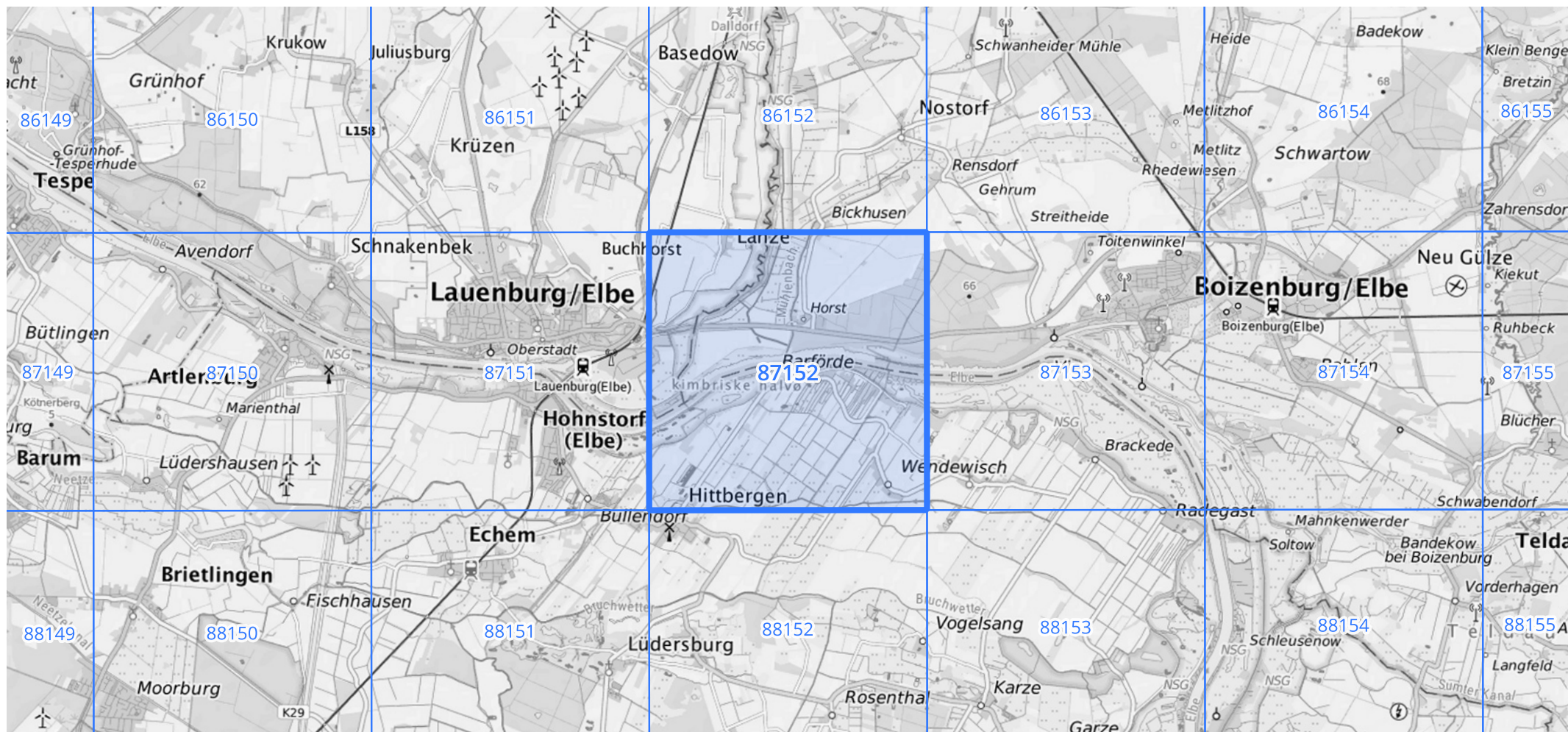
Siehe auch Anwendungshilfe zu KOSTRA-DWD-2020 des Deutschen Wetterdienstes.

Starkniederschlagshöhen und -spenden gemäß KOSTRA-DWD-2020

Rasterfeld 87152

(Zeile 87, Spalte 152)

Übersichtskarte des Rasterfeldes 87152, M 1 : 100 000



Quelle Rasterdaten: KOSTRA-DWD-2020 des Deutschen Wetterdienstes, Stand 12/2022.

Seite 3 von 3

Kartendarstellung: © Bundesamt für Kartographie und Geodäsie (2023), Datenquellen: https://sgx.geodatenzentrum.de/web_public/gdz/datenquellen/Datenquellen_TopPlusOpen.html

Für die Richtigkeit und Aktualität der Angaben wird keine Gewähr übernommen. Erstellt 01/2023.